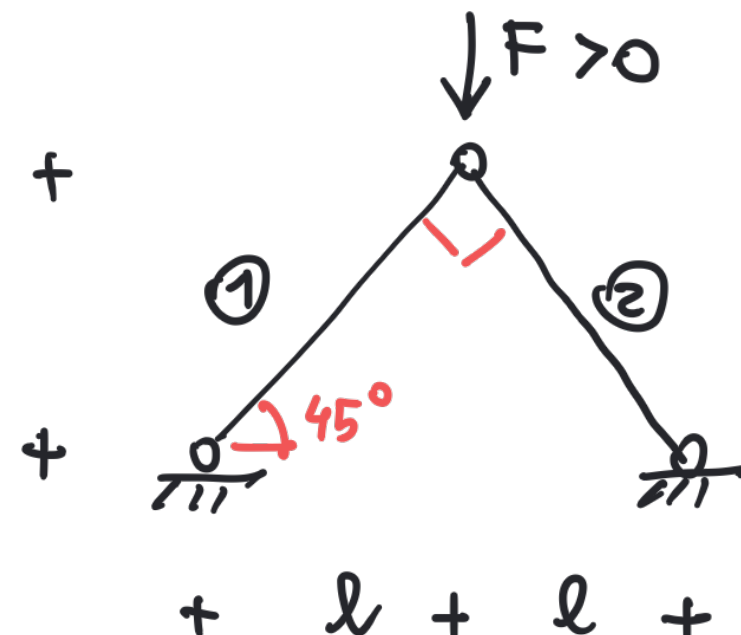


• Motivazione dei criteri di resistenza → esempio di verifica di RESISTENZA

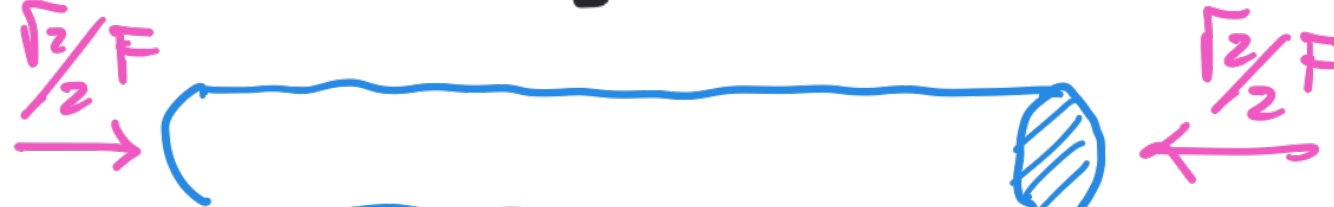
- Criterio di Tresca
- Criterio di Huber-Hencky - von Mises
- Criterio di Galilei

Verifica di resistenza per una trave rettangolare

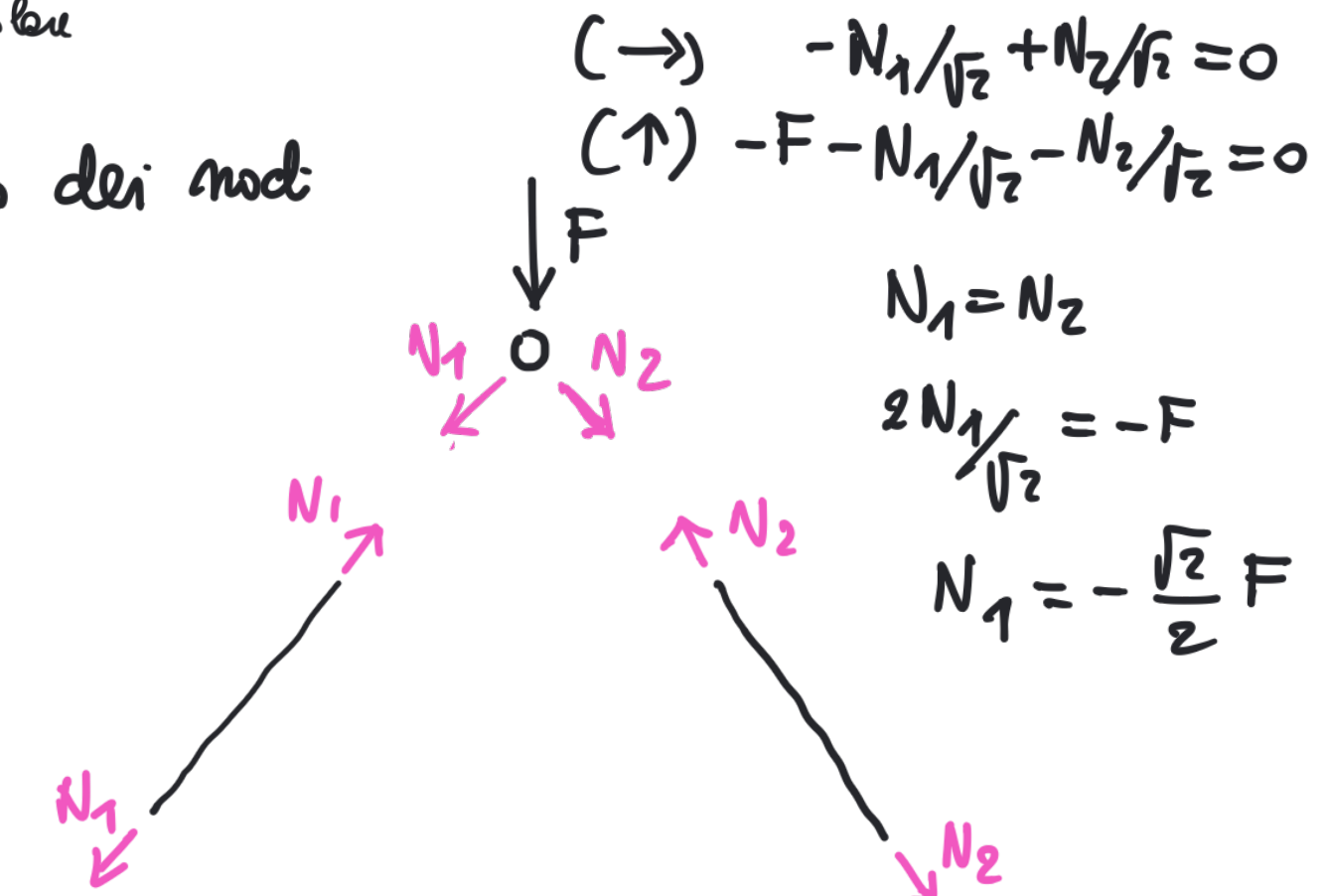
Metodo dei mod:



$$N_1 = N_2 = -\frac{\sqrt{2}}{2} F = :N$$



$$\underline{I} = \begin{bmatrix} 0 & 0 & 0 \\ 0 & 0 & 0 \\ 0 & 0 & \sigma_z \end{bmatrix}$$



$$\sigma_z = \frac{N}{A} = -\frac{\sqrt{2}}{2} \frac{F}{A} < 0$$

$- \sigma_0 \leq \sigma_z \leq \sigma_0$

$$\frac{\sqrt{2}}{2} \frac{F}{A} \leq \sigma_0 \Rightarrow A > \frac{\sqrt{2}}{2} \frac{F}{\sigma_0}$$

I uniaxiale $\Rightarrow \exists$ cambio d' coordinate

$$\underline{I} = \begin{bmatrix} \sigma & 0 & 0 \\ 0 & 0 & 0 \\ 0 & 0 & 0 \end{bmatrix}$$

verifica:

$$\sigma_c \leq \sigma \leq \sigma_T$$

\uparrow \uparrow
tabulet

(x)

In sintesi:

la verifica di resistenza per uno stato uniaxiale si riduce a controllare che l'unica tensione principale non nulla verifichi le condizioni (*)

$\underline{\sigma}$ uniaxiale $\Rightarrow \exists$ cambio di coordinate

$$\underline{\sigma} = \begin{bmatrix} \sigma & 0 & 0 \\ 0 & 0 & 0 \\ 0 & 0 & 0 \end{bmatrix}$$

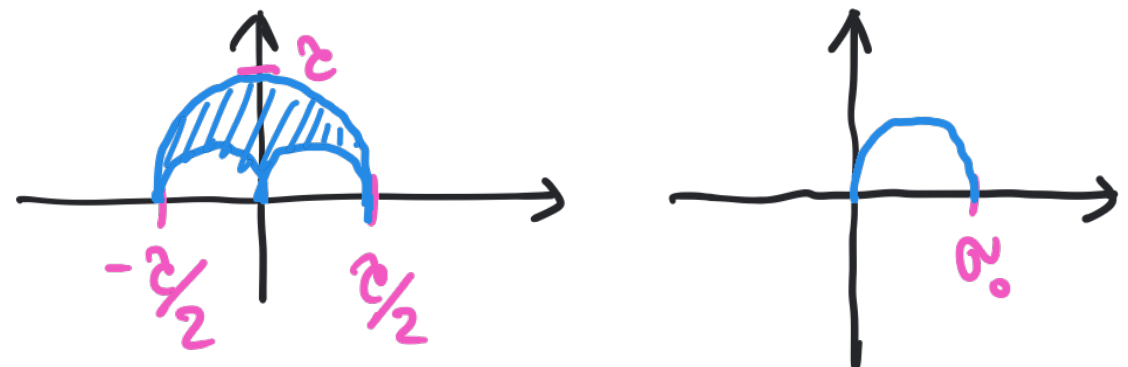
verifica: $\sigma_C \leq \sigma \leq \sigma_T$ (x)
 \uparrow tabulati \uparrow

In sintesi:

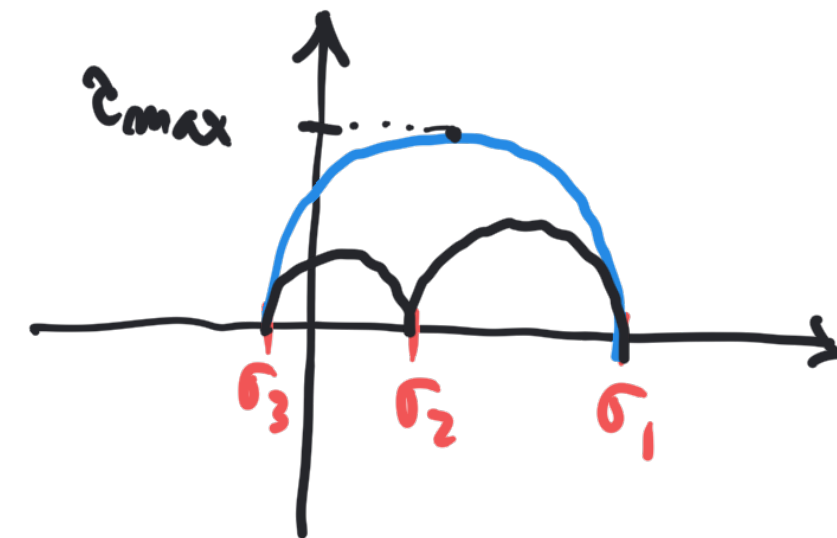
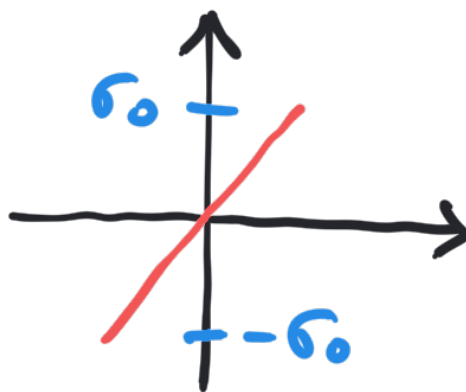
la verifica di resistenza per uno stato uniaxiale si riduce a controllare che l'unica tensione principale non nulle verifichi la condiz. (x)

Problema: valutare la verità di uno stato tensionale arbitrario, ad esempio:

$$\underline{\sigma} = \begin{bmatrix} 0 & \tau & 0 \\ \tau & 0 & 0 \\ 0 & 0 & 0 \end{bmatrix}$$

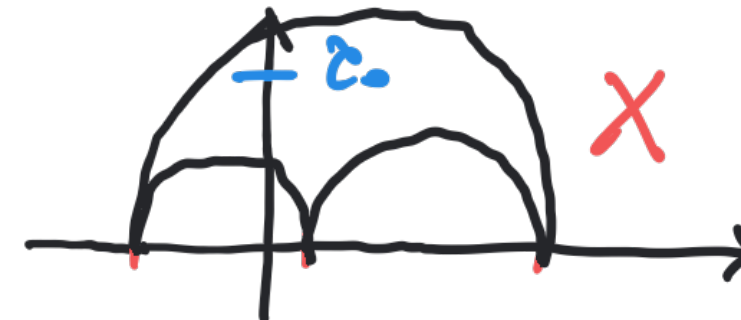
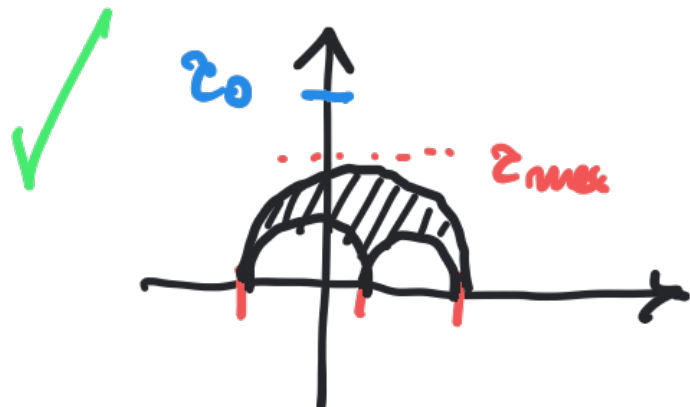


Criterio di Tricce (materiali duttili)

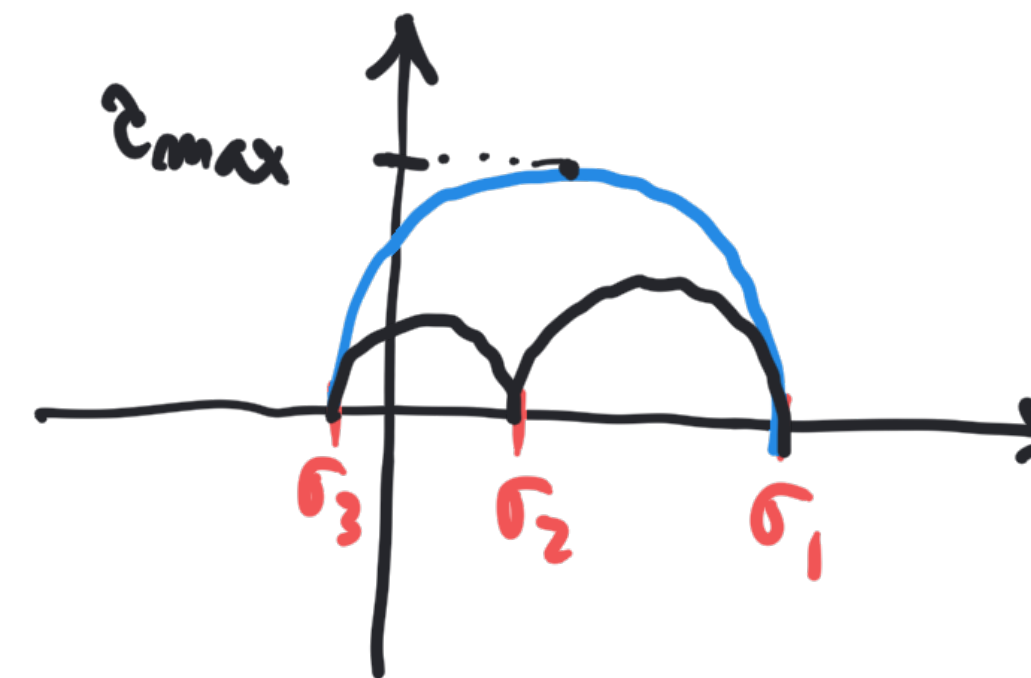
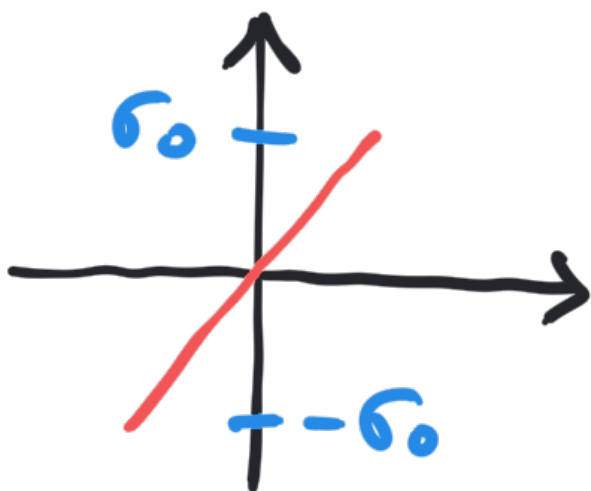


$$\varepsilon_{max} = \max \left\{ \frac{|\sigma_1 - \sigma_2|}{2}, \frac{|\sigma_1 - \sigma_3|}{2}, \frac{|\sigma_2 - \sigma_3|}{2} \right\}$$

$\varepsilon_{max} \leq \varepsilon_0 \rightarrow$ soglia di movimento

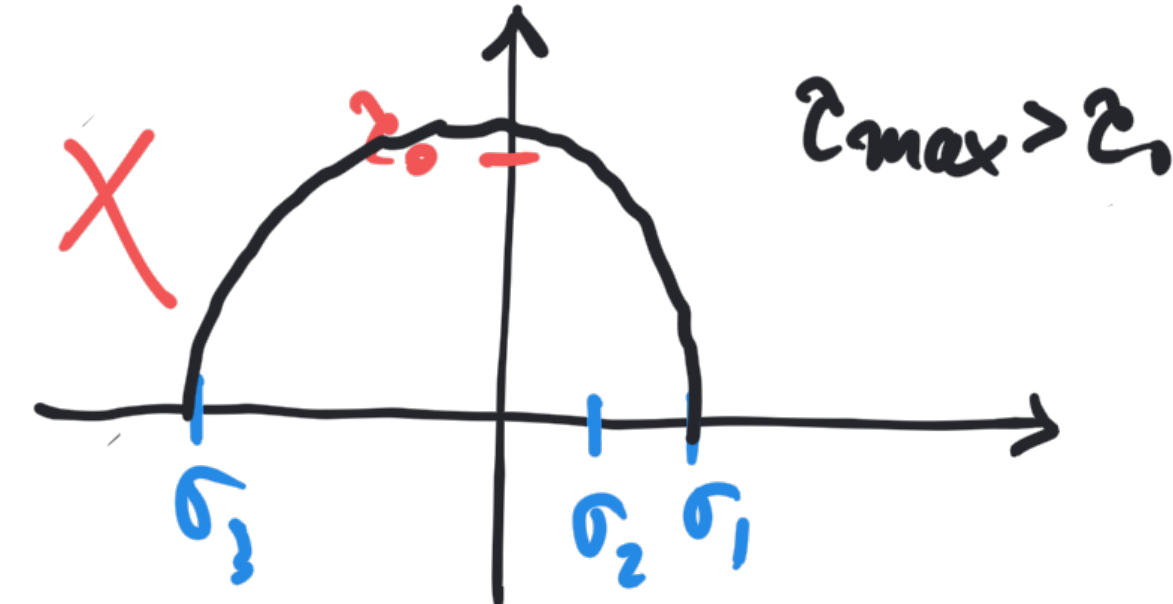
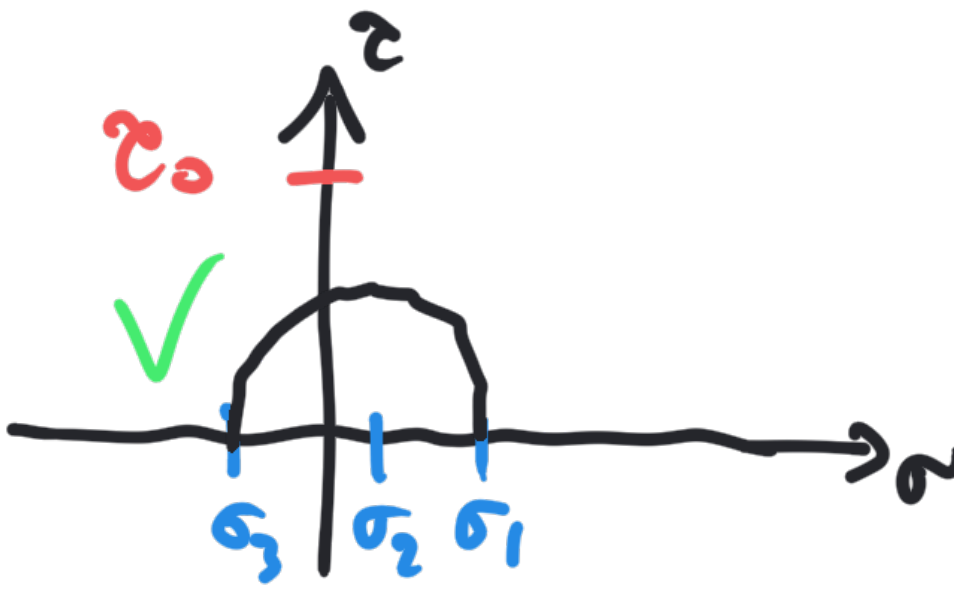


Criterio di Trice (materiali duttili)

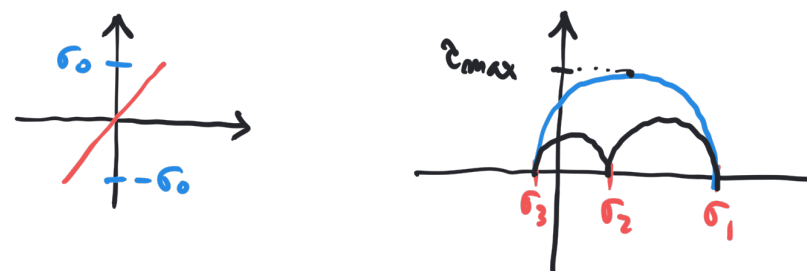


$$\epsilon_{max} = \max \left\{ \frac{|\sigma_1 - \sigma_2|}{2}, \frac{|\sigma_1 - \sigma_3|}{2}, \frac{|\sigma_2 - \sigma_3|}{2} \right\}$$

$\epsilon_{max} \leq \epsilon_0 \rightarrow$ soglia di mervamento

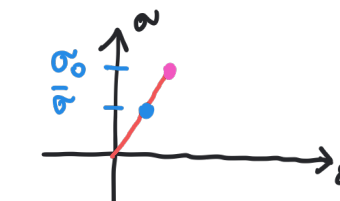


Criterio di Tresca (materiali duttili)



$$\tau_{\max} = \max \left\{ \frac{|\sigma_1 - \sigma_2|}{2}, \frac{|\sigma_1 - \sigma_3|}{2}, \frac{|\sigma_2 - \sigma_3|}{2} \right\}$$

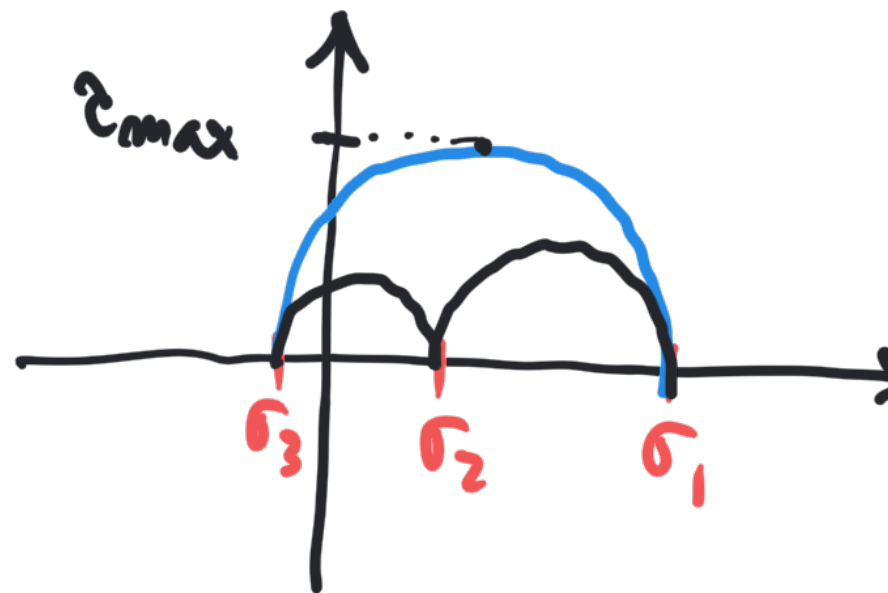
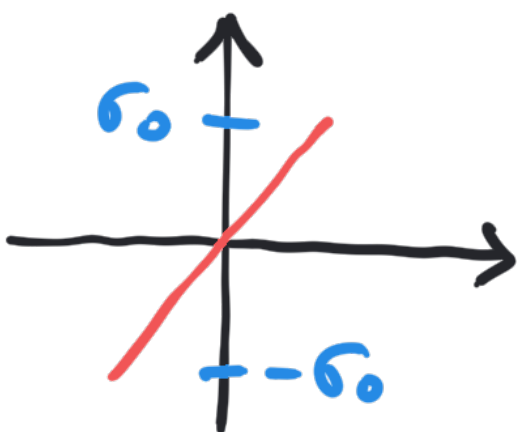
$\tau_{\max} \leq \tau_0 \rightarrow$ tensione tang. di permanenza.



I valori di τ_0 non sono tabulati - en perciò ricavano da σ_0 . Ricordiamo infatti che per uno stato uniaxiale del tns $T = \begin{bmatrix} \sigma_0 & 0 & 0 \\ 0 & \sigma_0 & 0 \\ 0 & 0 & \sigma_0 \end{bmatrix}$ la tensione tangenziale minima è $\sigma_0/2$, come si vede facilmente costruendo l'elisse di Mohr.

↑ → Se $\sigma = \sigma_0$, ovvero se in corrispondenza di tale stato tensionale si tocca il tangente di permanenza, le corrispondenti tensioni tangenziali minime $\sigma_0/2$ oltre coincidono con τ_0 .

Criterio d'Trice (material dutile)



$$\varepsilon_{max} = \max \left\{ \frac{|\sigma_1 - \sigma_2|}{2}, \frac{|\sigma_1 - \sigma_3|}{2}, \frac{|\sigma_2 - \sigma_3|}{2} \right\} \leq \sigma_0 / 2$$

$\varepsilon_{max} \leq \varepsilon_0 \rightarrow$ tensione tang di pressione.

$$\boxed{\varepsilon_0 = \sigma_0 / 2}$$

$$\max \{ |\sigma_1 - \sigma_2|, |\sigma_1 - \sigma_3|, |\sigma_2 - \sigma_3| \} \leq \sigma_0$$

$$I \rightarrow (\sigma_1, \sigma_2, \sigma_3) \downarrow \sigma_{idT}$$

$\sigma_{idT}(I)$

tensione ideale verso Trice

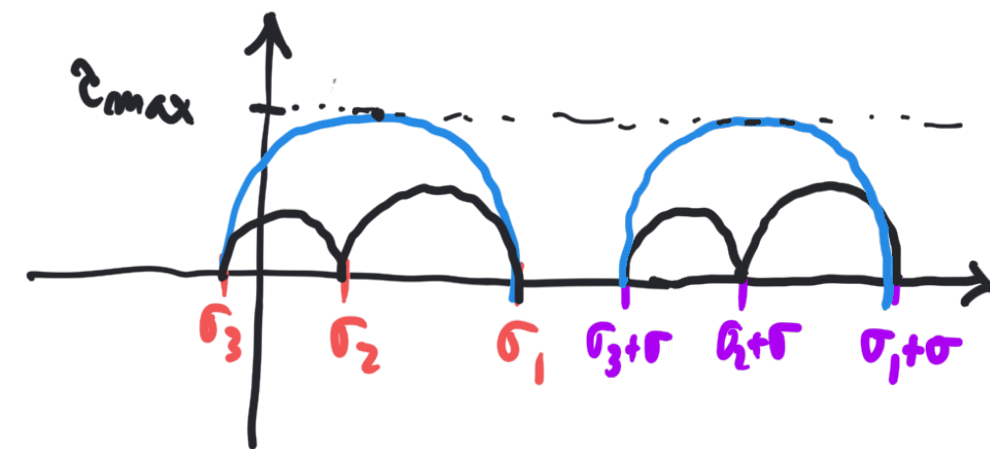
Criterio di Tresca (materiali duttili)

Oss 1:

$$\begin{bmatrix} \sigma & 0 & 0 \\ 0 & \sigma & 0 \\ 0 & 0 & \sigma \end{bmatrix} = \alpha \underline{\underline{I}}$$

$$\delta_{idT}(\alpha \underline{\underline{I}}) = 0$$

Stati tensionali idrostatici hanno reverberi pari allo stato tensionale nullo.



$$\underline{\underline{I}} \mapsto \underline{\underline{I}} + \alpha \underline{\underline{I}}$$

Oss.2

La sovrapposizione di un stato idrostatico non altera le δ_{idT} , e dunque non cambia le reverberi di un stato tensionale.

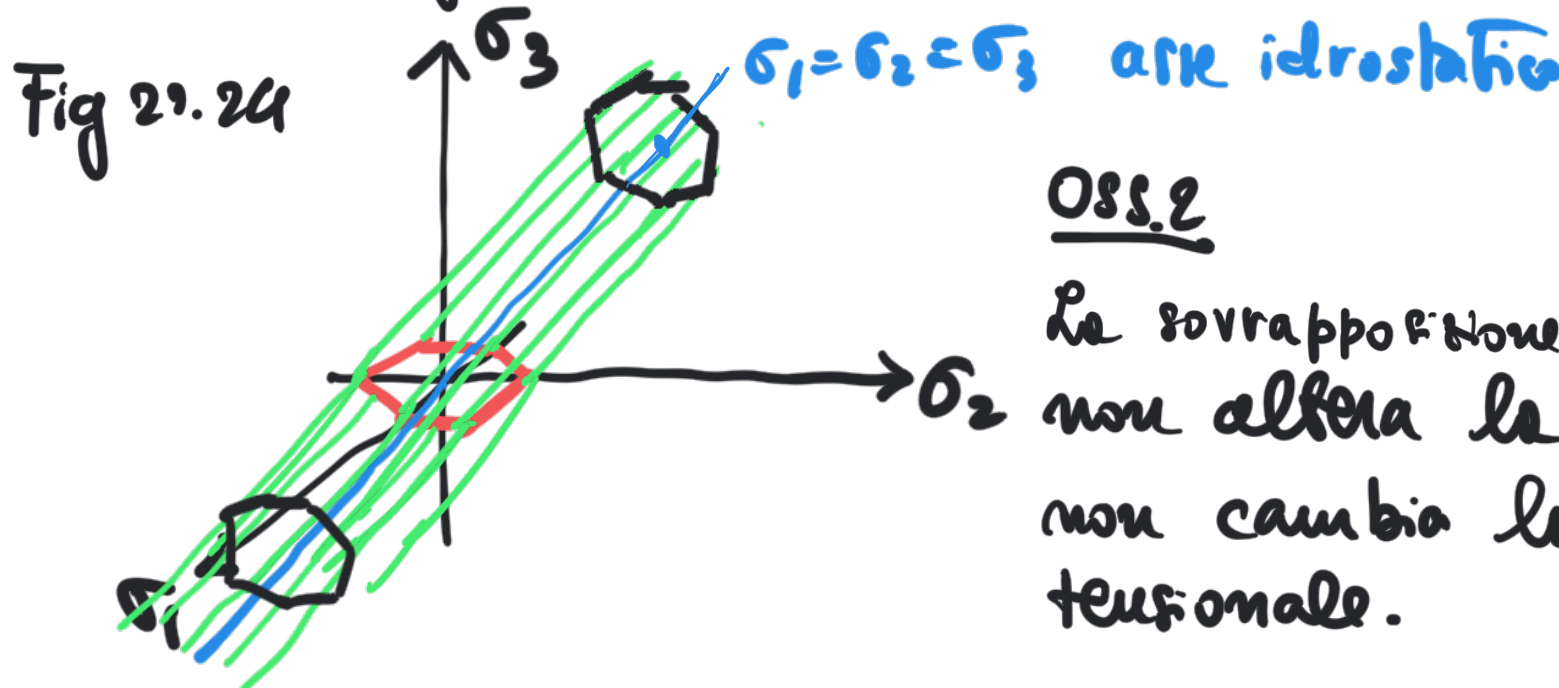
$$\max \{|\sigma_1 - \sigma_2|, |\sigma_1 - \sigma_3|, |\sigma_2 - \sigma_3|\} \leq \sigma_0$$

$\delta_{idT}(\underline{\underline{I}})$

tensione ideale secondo Tresca

$$\begin{aligned} -\sigma_0 &\leq \sigma_1 - \sigma_2 \leq \sigma_0 \\ -\sigma_0 &\leq \sigma_1 - \sigma_3 \leq \sigma_0 \\ -\sigma_0 &\leq \sigma_2 - \sigma_3 \leq \sigma_0 \end{aligned}$$

Caso generale



OSS.2

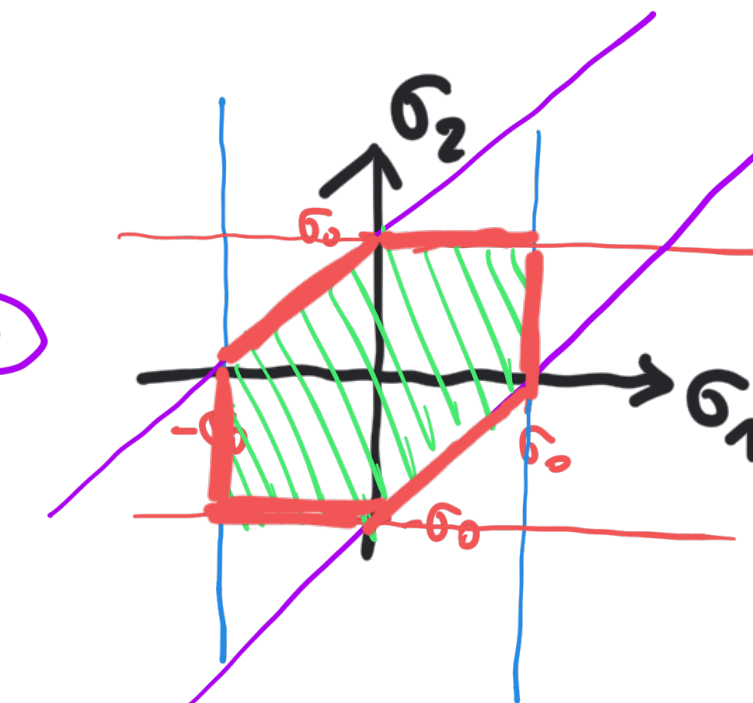
La sovrapposizione di un stato idrostatico non altera le σ_{idT} , e dunque non cambia le rette di un stato tensionale.

$$\max \{|\sigma_1 - \sigma_2|, |\sigma_1 - \sigma_3|, |\sigma_2 - \sigma_3|\} \leq \sigma_0$$

σ_{idT} (I)
tensione ideale secondo Tresca

stato piano: $\sigma_3 = 0$

$$\begin{aligned} -\sigma_0 &\leq \sigma_1 - \sigma_2 \leq \sigma_0 \\ -\sigma_0 &\leq \sigma_1 \leq \sigma_0 \\ -\sigma_0 &\leq \sigma_2 \leq \sigma_0 \end{aligned}$$



$$\begin{bmatrix} \sigma & 0 & 0 \\ 0 & \sigma & 0 \\ 0 & 0 & \sigma \end{bmatrix} = \sigma \underline{\underline{I}}$$

Criterio d' Huber-Hencky-von Mises (HHM)

$$\tau_{0H} = \frac{1}{3} \sqrt{(\sigma_1 - \sigma_2)^2 + (\sigma_1 - \sigma_3)^2 + (\sigma_2 - \sigma_3)^2}$$

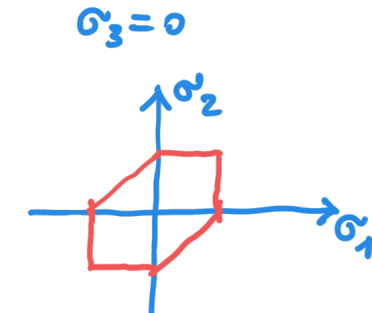
$$\tau_{0H} \leq \tau_{0T}$$

Stato uniaxiale : $\sigma_2 = \sigma_3 = 0$

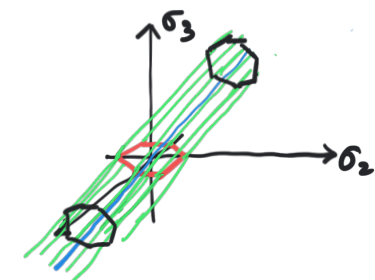
$$\tau_{0H} = \frac{\sqrt{2}}{3} \sigma_1 \Rightarrow \tau_{0T} = \frac{\sqrt{2}}{3} \sigma_0$$

$$\frac{1}{\sqrt{2}} \sqrt{(\sigma_1 - \sigma_2)^2 + (\sigma_1 - \sigma_3)^2 + (\sigma_2 - \sigma_3)^2} \leq \sigma_0$$

$\sigma_{id\text{ HHM}}$



$\max \{|\sigma_1 - \sigma_2|, |\sigma_1 - \sigma_3|, |\sigma_2 - \sigma_3|\} \leq \sigma_0$
 !! tensione
 ideale
 σ_{idT} secant
 Tresca



Criterio di Huber-Hencky-von Mises (HHM)

$$\tau_{0H} = \frac{1}{3} \sqrt{(\sigma_1 - \sigma_2)^2 + (\sigma_1 - \sigma_3)^2 + (\sigma_2 - \sigma_3)^2}$$

$$\tau_{0H} \leq \tau_{0H}^*$$

Stato uniaxiale : $\sigma_2 = \sigma_3 = 0$

$$\tau_{0H} = \frac{\sqrt{2}}{3} \sigma_1 \Rightarrow \tau_{0H}^* = \frac{\sqrt{2}}{3} \sigma_0$$

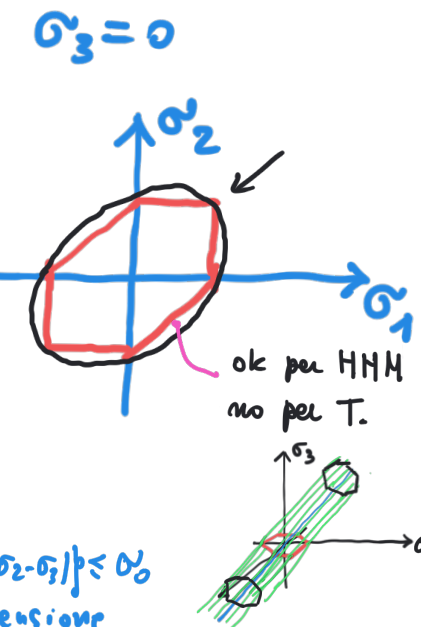
$$\frac{1}{\sqrt{2}} \sqrt{(\sigma_1 - \sigma_2)^2 + (\sigma_1 - \sigma_3)^2 + (\sigma_2 - \sigma_3)^2} \leq \sigma_0$$

σ_{idHHM}

Tresca più conservativo.

$$\max \{ |\sigma_1 - \sigma_2|, |\sigma_1 - \sigma_3|, |\sigma_2 - \sigma_3| \} \leq \sigma_0$$

σ_{idT} tensione ideale se avviab Tresca



Criterio di Huber-Hencky-von Mises (HHM)

$$\tau_{0H} = \frac{1}{3} \sqrt{(\sigma_1 - \sigma_2)^2 + (\sigma_1 - \sigma_3)^2 + (\sigma_2 - \sigma_3)^2}$$

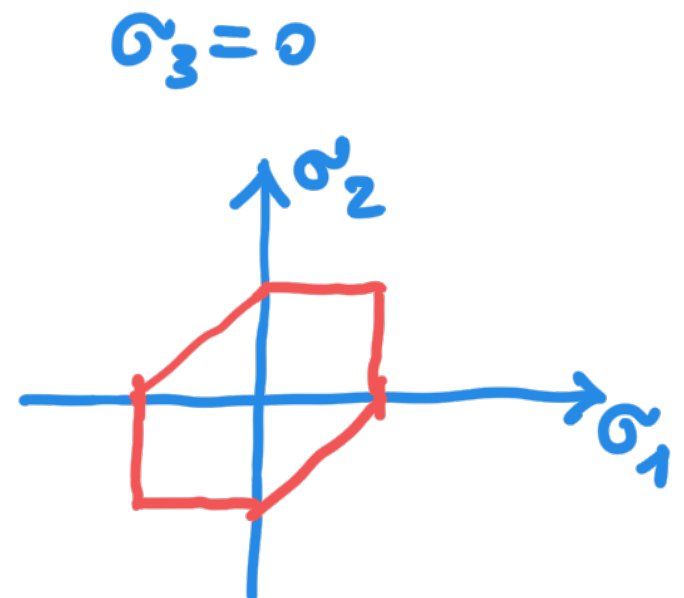
$$\tau_{0H} \leq \tau_{0H}^0$$

Stato uniaxiale : $\sigma_2 = \sigma_3 = 0$

$$\tau_{0H} = \frac{\sqrt{2}}{3} \sigma_1 \Rightarrow \tau_{0H}^0 = \frac{\sqrt{2}}{3} \sigma_0$$

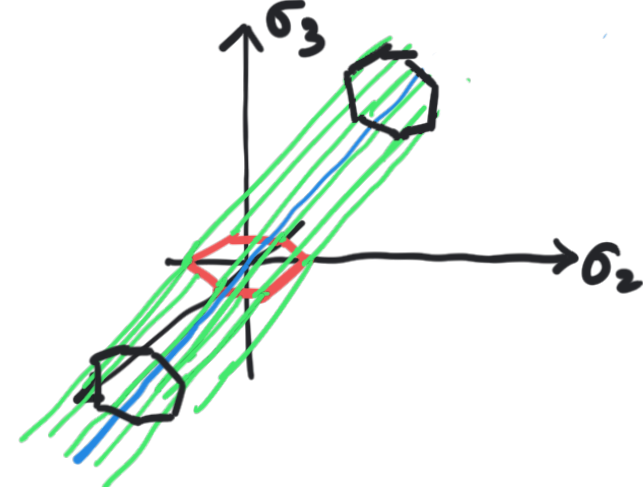
$$\frac{1}{\sqrt{2}} \sqrt{(\sigma_1 - \sigma_2)^2 + (\sigma_1 - \sigma_3)^2 + (\sigma_2 - \sigma_3)^2} \leq \sigma_0$$

σ_{idHHM}



$$\max \{ |\sigma_1 - \sigma_2|, |\sigma_1 - \sigma_3|, |\sigma_2 - \sigma_3| \} \leq \sigma_0$$

\parallel .. tensione
ideale
secondo
Tresca



Criterio d' Huber-Hencky-von Mises (HHM)

(HHM)

stato piano: $\sigma_3 = 0$

$$\sigma_{idHHM} = \sqrt{\sigma_1^2 + \sigma_2^2 - \sigma_1 \sigma_2}$$

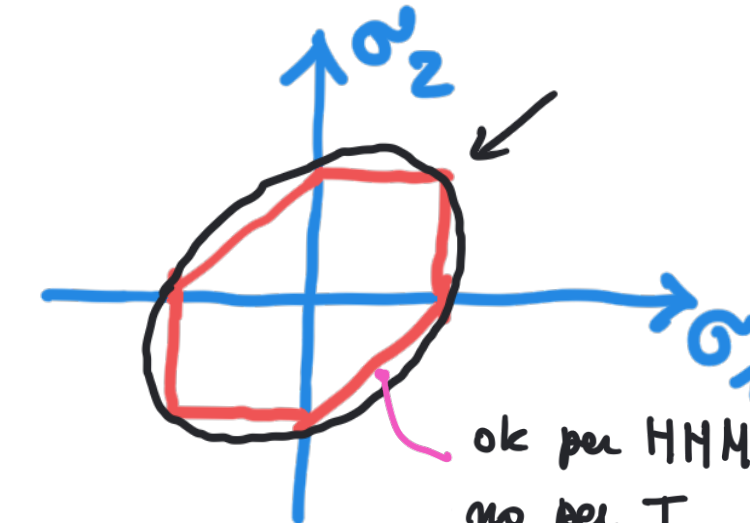
$$\boxed{\sigma_1^2 + \sigma_2^2 - \sigma_1 \sigma_2 \leq \sigma_0^2}$$

$$\frac{1}{\sqrt{2}} \sqrt{(\sigma_1 - \sigma_2)^2 + (\sigma_1 - \sigma_3)^2 + (\sigma_2 - \sigma_3)^2} \leq \sigma_0$$

σ_{idHHM}

Tresca più conservativo.

$$\sigma_3 = 0$$



$$\max \{ |\sigma_1 - \sigma_2|, |\sigma_1 - \sigma_3|, |\sigma_2 - \sigma_3| \} \leq \sigma_0$$

σ_{idT} !! .. tensione
ideale secondo
Tresca

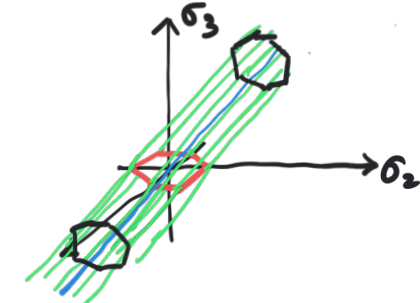
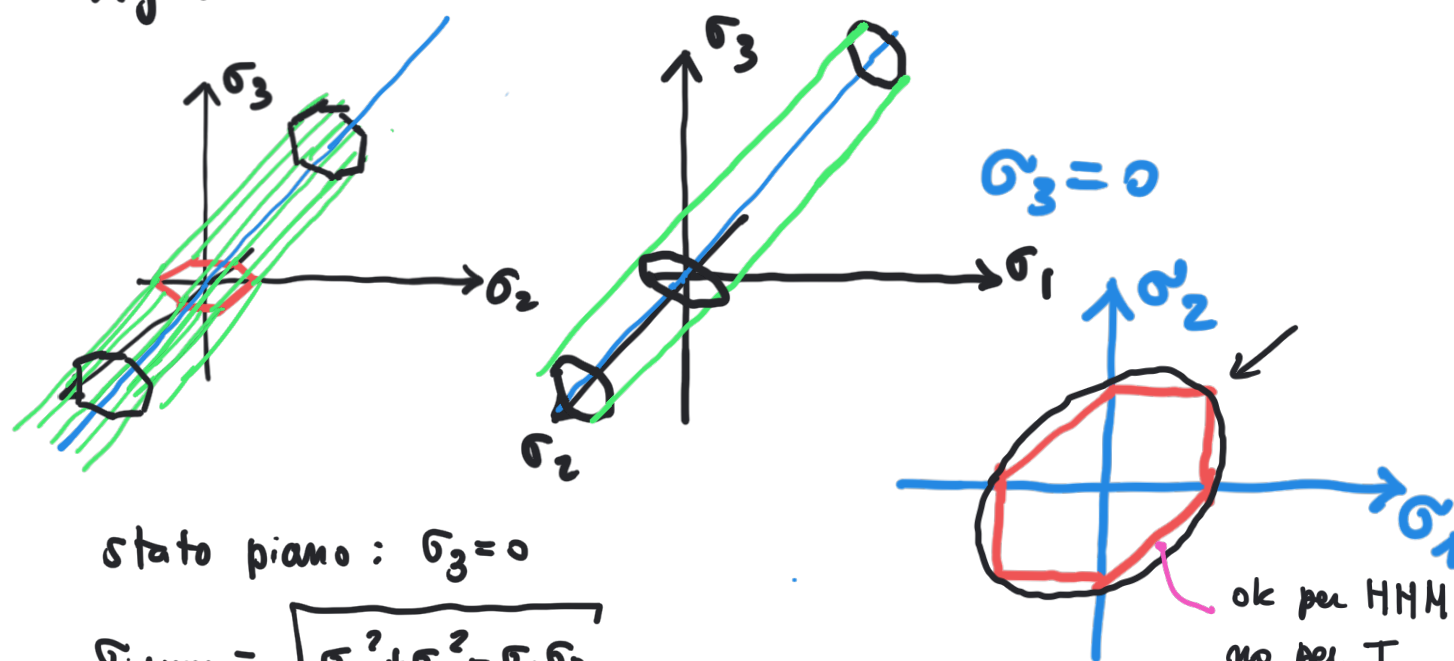


Fig. 22-4



stato piano: $\sigma_3 = 0$

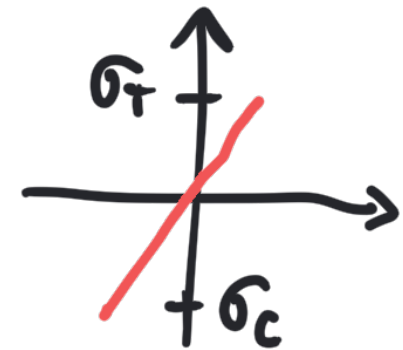
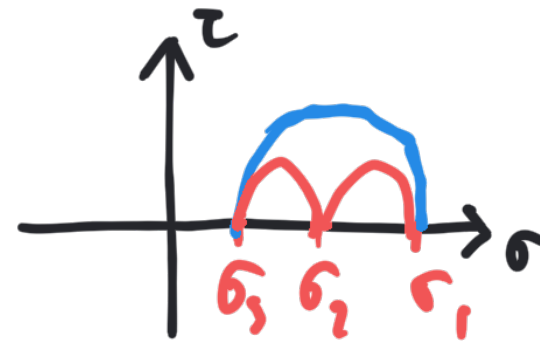
$$\sigma_{\text{idHMM}} = \sqrt{\sigma_1^2 + \sigma_2^2 - \sigma_1 \sigma_2}$$

$$\boxed{\sigma_1^2 + \sigma_2^2 - \sigma_1 \sigma_2 \leq \sigma_0^2}$$

ok per HMM
no per T.

Tresca più conservativo.

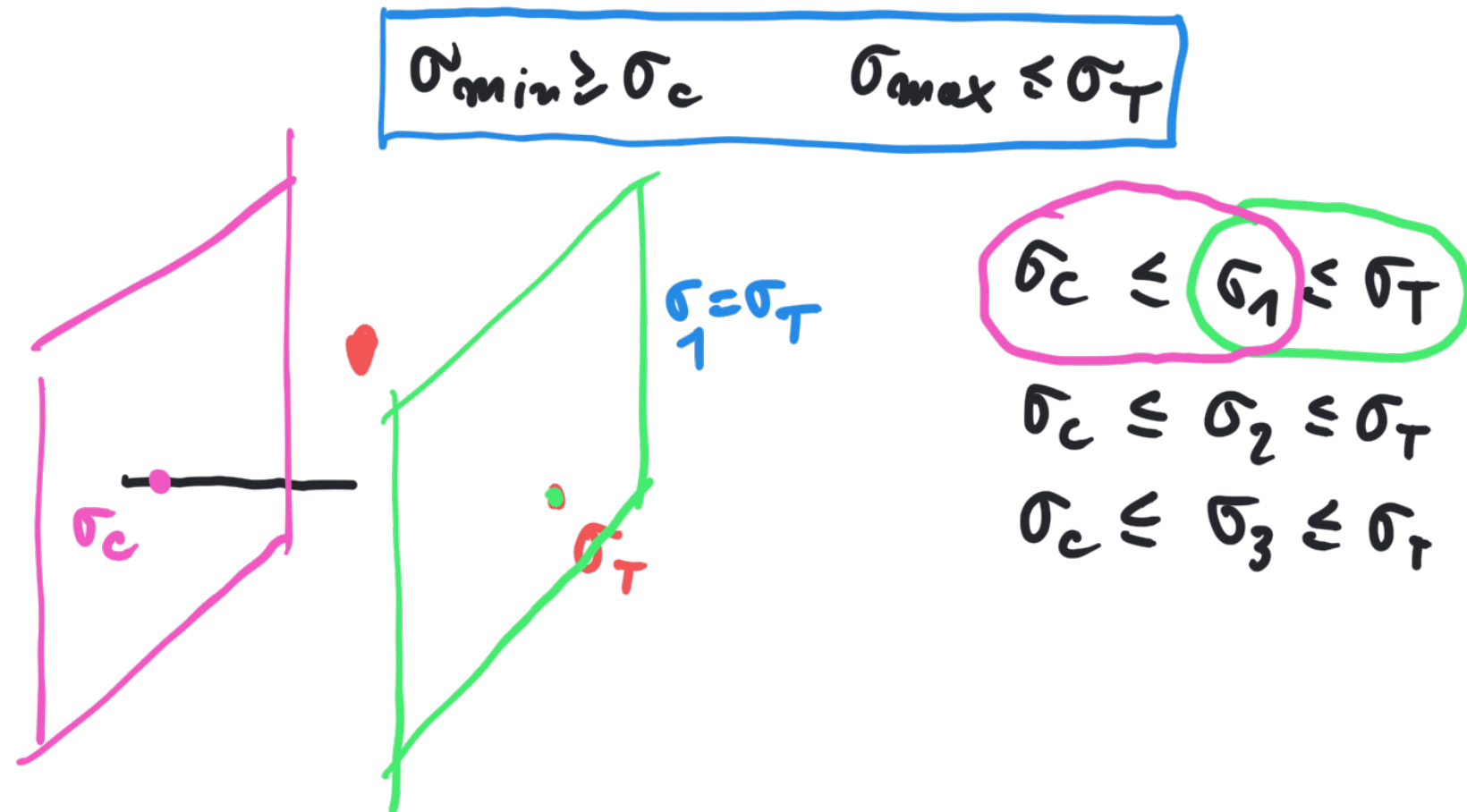
Nel caso generale, le tensioni ammissibili secondo HMM descrivono un cilindro avente come base l'asse idrostatico. Tale cilindro è circoscritto al prisma a base esagonale che descrive gli stati tensionali ammissibili secondo Tresca.

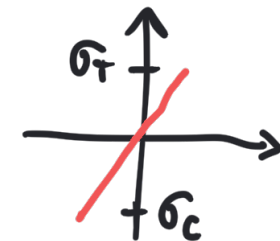
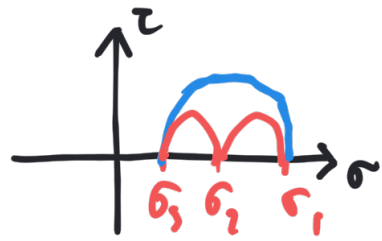


Galileo - Rankine

$$\sigma_{\min} = \min \{ \sigma_1, \sigma_2, \sigma_3 \}$$

$$\sigma_{\max} = \max \{ \sigma_1, \sigma_2, \sigma_3 \}$$

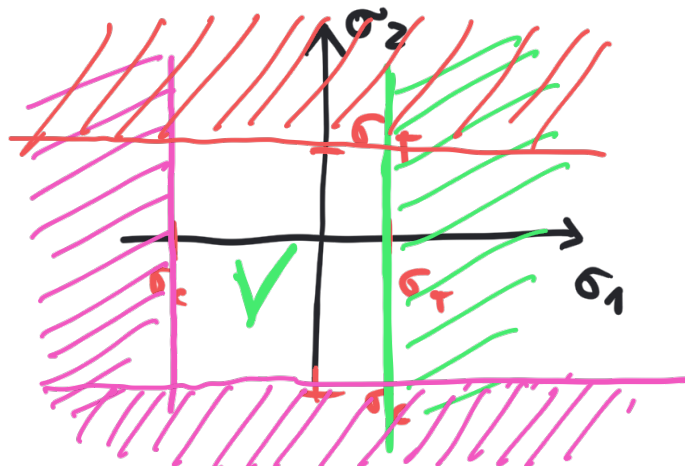




Galileo - Rankine

$$\sigma_{\min} = \min \{ \sigma_1, \sigma_2, \sigma_3 \} \quad \sigma_{\max} = \max \{ \sigma_1, \sigma_2, \sigma_3 \}$$

$$\sigma_{\min} \geq \sigma_c \quad \sigma_{\max} \leq \sigma_T$$



$\sigma_c \leq \sigma_1 \leq \sigma_T$
 $\sigma_c \leq \sigma_2 \leq \sigma_T$
 $\sigma_c \leq \sigma_3 \leq \sigma_T$
 $\underline{\sigma_3 = 0}$

fig 22.3